

# Модель двумерного гамма-распределения в исследовании повторных статистических наблюдений с приложением в иммунологии

Алиева Наталия Дмитриевна, гр. 422

Санкт-Петербургский государственный университет  
Математико-механический факультет

Кафедра статистического моделирования

Научный руководитель: к.ф.-м.н., д. Алексеева Н. П.

Рецензент: к. т. н., д. Белякова Л. А.



Санкт-Петербург, 2015г.

- Furman E. (2008):  $\xi_i \sim \gamma(\cdot | b_i, \lambda_i)$  — нез.,  $i = 0, 1, 2$ .  $\zeta = (\eta_1, \eta_2)$  имеет двумерное гамма-распределение.

$$\begin{cases} \eta_1 = \frac{b_0}{b_1} \xi_0 + \xi_1 \\ \eta_2 = \frac{b_0}{b_1} \xi_0 + \frac{b_1}{b_2} \xi_1 + \xi_2. \end{cases} \quad (1)$$

- Furman E. (2008):  $\xi_i \sim \gamma(\cdot | b_i, \lambda_i)$  — нез.,  $i = 0, 1, 2$ .  $\zeta = (\eta_1, \eta_2)$  имеет двумерное гамма-распределение.

$$\begin{cases} \eta_1 = \frac{b_0}{b_1} \xi_0 + \xi_1 \\ \eta_2 = \frac{b_0}{b_1} \xi_0 + \frac{b_1}{b_2} \xi_1 + \xi_2. \end{cases} \quad (1)$$

- Sen S., Lamichhane R., Diawara N. (2014):  
 $\xi_0 \sim \gamma(\cdot | b_0, \lambda_0)$ ,  $\eta_i \sim \gamma(\cdot | b_i, \lambda_i, \xi_0)$ ,  $i = 1, 2$ .  $\eta_1$  и  $\eta_2$  — нез.  
 $f(\xi_0, \eta_1, \eta_2) = f_1(\xi_0)f_2(\eta_1)f_3(\eta_2)$  — плотность двумерного гамма-распределения.

- Furman E. (2008):  $\xi_i \sim \gamma(\cdot | b_i, \lambda_i)$  — нез.,  $i = 0, 1, 2$ .  $\zeta = (\eta_1, \eta_2)$  имеет двумерное гамма-распределение.

$$\begin{cases} \eta_1 = \frac{b_0}{b_1} \xi_0 + \xi_1 \\ \eta_2 = \frac{b_0}{b_1} \xi_0 + \frac{b_1}{b_2} \xi_1 + \xi_2. \end{cases} \quad (1)$$

- Sen S., Lamichhane R., Diawara N. (2014):  
 $\xi_0 \sim \gamma(\cdot | b_0, \lambda_0)$ ,  $\eta_i \sim \gamma(\cdot | b_i, \lambda_i, \xi_0)$ ,  $i = 1, 2$ .  $\eta_1$  и  $\eta_2$  — нез.  
 $f(\xi_0, \eta_1, \eta_2) = f_1(\xi_0)f_2(\eta_1)f_3(\eta_2)$  — плотность двумерного гамма-распределения.
- Алексеева Н. П., Щербакова И. С., Щекина Л. А. (2009):  
 $\xi_i \sim \gamma(\cdot | b = 1, \lambda_i)$ ,  $i = 0, 1, 2$  — независимые.  $\zeta = (\eta_1, \eta_2)$  имеет двумерное гамма-распределение.

$$\begin{cases} \eta_1 = \xi_0 + \xi_1 \\ \eta_2 = \xi_0 + \xi_2. \end{cases} \quad (2)$$

Повторные наблюдения иммунологических показателей до и после лечения.

- Источники: НИИ онкологии им. проф. Н. Н. Петрова, НИИ Фтизиопульмонологии.
- Иммунологические показатели: иммуноглобулины класса А и G, матриксные металлопротеиназы и их ингибиторы.

Повторные наблюдения иммунологических показателей до и после лечения.

- Источники: НИИ онкологии им. проф. Н. Н. Петрова, НИИ Фтизиопульмонологии.
- Иммунологические показатели: иммуноглобулины класса А и G, матриксные металлопротеиназы и их ингибиторы.

Прикладная задача: влияние иммунитета на эффективность лечения.

## Определение

$\xi \sim \gamma(\cdot|b, \lambda)$ ,  $\Gamma(\lambda)$  — *гамма-функция Эйлера*. Плотность *гамма-распределения*:

$$f_{\xi}(x) = x^{\lambda-1} \frac{e^{-x/b}}{b^{\lambda}\Gamma(\lambda)}, x \geq 0$$

## Утверждение (Алексеева, Щербакова, 2007)

$\xi_i \sim \gamma(\cdot|1, \lambda_i)$ ,  $i = 0, 1, 2$  — *независимые*.  $\zeta = (\eta_1, \eta_2)$  имеет *двумерное гамма-распределение с параметрами*  $\Lambda_i = \lambda_0 + \lambda_i$ ,  $i = 1, 2$  и  $\rho$  — *коэф. корреляции*:

$$\begin{cases} \eta_1 = \xi_0 + \xi_1 \\ \eta_2 = \xi_0 + \xi_2 \end{cases} \implies \begin{cases} \lambda_0 = \rho\sqrt{\Lambda_1\Lambda_2} \\ \lambda_1 = \Lambda_1 - \rho\sqrt{\Lambda_1\Lambda_2} \\ \lambda_2 = \Lambda_2 - \rho\sqrt{\Lambda_1\Lambda_2}. \end{cases}$$

*Обозначение:*  $(\eta_1, \eta_2) \sim \gamma_2(\cdot|\lambda_0, \lambda_1, \lambda_2)$ .

Условия применимости модели (для проекций):

- $b > 0$ ,  $\lambda_0 + \lambda_i > 0$ ,
- согласие с  $\gamma(\cdot|1, \lambda_0 + \lambda_i)$ ,
- $\rho \geq 0$ .

Профили правдоподобия параметров распределения при  $n = 1000$ .

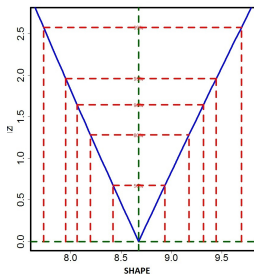


Рис. : Параметр формы  $\lambda$ .

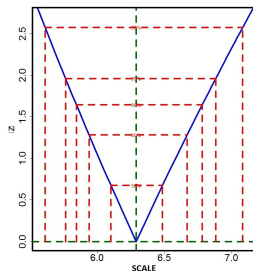


Рис. : Параметр масштаба  $b$ .



## Утверждение

$$\gamma_2(u, v | \lambda_0, \lambda_1, \lambda_2) = S(u, v) \frac{e^{-(u+v)}}{\Gamma(\lambda_0)\Gamma(\lambda_1)\Gamma(\lambda_2)}, \text{ где}$$

$$S(u, v) = \begin{cases} \sum_{k=0}^{\infty} \frac{u^{c-1} v^{-a} \Gamma(b) \Gamma(c-b)}{\Gamma(c)} {}_2F_1(a, b; c, z), & u < v \\ \sum_{k=0}^{\infty} \frac{v^{c-1} u^{-a} \Gamma(b) \Gamma(c-b)}{\Gamma(c)} {}_2F_1(a, b; c, z), & v < u \\ \sum_{k=0}^{\infty} \frac{v^{c-a-1} \Gamma(b) \Gamma(c-a-b)}{\Gamma(c-a)}, & u = v, \end{cases}$$
$$(a, b, c, z) = \begin{cases} (1 - \lambda_2, k + \lambda_0, k + \lambda_0 + \lambda_1, u/v), & u < v \\ (1 - \lambda_1, k + \lambda_0, k + \lambda_0 + \lambda_2, v/u), & v < u, \end{cases}$$

$${}_2F_1(a, b; c, z) = \sum_{\ell=0}^{\infty} \frac{(a)_{\ell} (b)_{\ell}}{(c)_{\ell}} \frac{z^{\ell}}{\ell!} - \text{гипергеометрическая функция,}$$

$$(a)_{\ell} = \frac{\Gamma(a+\ell)}{\Gamma(a)} \text{ и } c - a - b > 0.$$

## Утверждение (О производной гипергеометрической функции)

Пусть  $\psi(x) = \Gamma'(x)/\Gamma(x)$  — дигамма-функция.

$$\frac{\partial {}_2F_1(a, b; c, z)}{\partial \lambda_0} = \sum_{\ell=0}^{\infty} \frac{(a)_{\ell}(b)_{\ell}}{(c)_{\ell}} [\psi(b + \ell) + \psi(c) - \psi(b) - \psi(c + \ell)] \frac{z^{\ell}}{\ell!},$$

где  $a = 1 - \lambda_2$ ,  $b = k + \lambda_0$ ,  $c = k + \lambda_0 + \lambda_1$ ,  $z = u/v$  (по методу из (L. U. Arcani, G. Gasaneo, 2009)).

$$D_i = \sum_{k=0}^{\infty} \frac{u_i^{c-1} v_i^{-a}}{k!} \frac{\Gamma(b)\Gamma(c-b)}{\Gamma(c)} {}_2F_1(a, b; c, z_i).$$

$$\begin{cases} \frac{\partial \ln \gamma_2(u, v | \lambda_0, \lambda_1, \lambda_2)}{\partial \lambda_0} = \sum_{i=1}^n \frac{D'_i}{D_i} - n\psi(\lambda_0) = 0 \\ \frac{\partial \ln \gamma_2(u, v | \lambda_0, \lambda_1, \lambda_2)}{\partial \lambda_1} = \sum_{i=1}^n \frac{D'_i}{D_i} - n\psi(\lambda_1) = 0 \\ \frac{\partial \ln \gamma_2(u, v | \lambda_0, \lambda_1, \lambda_2)}{\partial \lambda_2} = \sum_{i=1}^n \frac{D'_i}{D_i} - n\psi(\lambda_2) = 0. \end{cases}$$

# Свойства ОМП на модельных данных

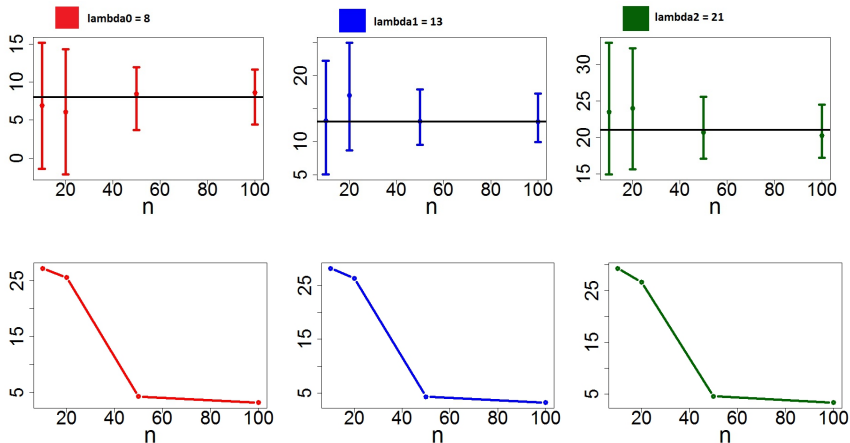


Рис. : Оценки параметров распределения и их оценки дисперсий.

$$T = n \sum_{i=1}^k \frac{(n_i/n - P_i(\theta))^2}{P_i(\theta)},$$

$n$  — объем выборки,

$k$  — число разбиений,

$n_i$  — кол-во точек в  $i$ -й ячейке,

$P_i(\theta)$  — теор. вероятность

попадания в  $i$ -ю ячейку,

$\theta = (\theta_1, \dots, \theta_s)$  — параметр.

$$T \sim \begin{cases} \chi^2(k-1), \\ \chi^2(k-s-1), & \theta = \hat{\theta}. \end{cases}$$

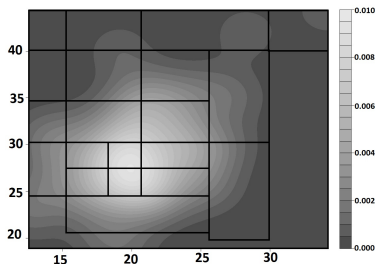


Рис. : Пример разбиения области определения  $\gamma_2(\cdot | \lambda_0, \lambda_1, \lambda_2)$  на ячейки.

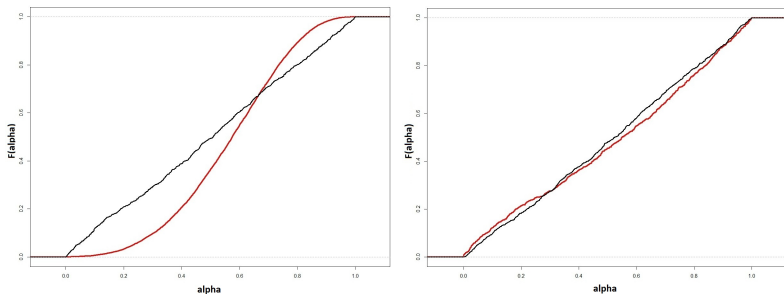


Рис. : Распределения  $p$  – value до и после bootstrap'а при  $n = 1000, N = 10000$ .

# Пример: матричные металлопротеиназы MMP1

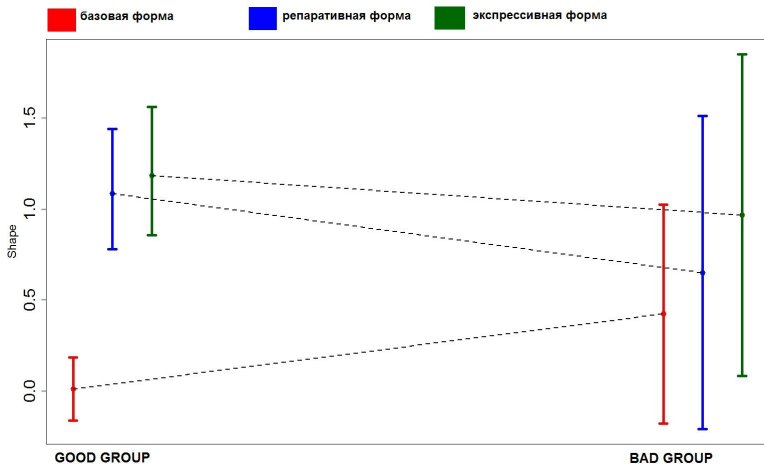


Рис. : Оценка параметров по MMP1.

- Сравнение оценок по методу максимального правдоподобия через решение системы и максимизацию функции правдоподобия.
- Проверка согласия с моделью при помощи различных критериев.
- Апробация метода на других данных.